

Внутри антенной решетки находится акустический экран в виде некоторого цилиндрического объема, ось которого проходит через точку O . Среды, заполняющие указанный цилиндрический объем и безграничное внешнее пространство, имеют разные физические параметры и не перемешиваются.

Преобразователи являются бесконечно длинными, тонкостенными, имеют радиальную поляризацию и могут содержать жидкость во внутренних объемах.

Гидроэлектрорупругая система возбуждается плоской волной давления с периодическим законом изменения во времени.

Излучаемый динамический процесс моделируется в предположении, что для описания движения элементов антенной решетки оправдано привлечение теории тонких пьезокерамических оболочек, основанной на гипотезах Кирхгофа–Лява, а жидких сред – акустической теории.

АНАЛИТИЧЕСКАЯ ЧАСТЬ.

Введем полярные координаты r_k, θ_k (рис.1), связанные с каждой из электроупругих оболочек ($k=1,2,\dots,N$, где N – число оболочек) и акустическим цилиндром ($k=0$).

С учетом сделанных допущений, задача состоит в совместном интегрировании уравнений динамики оболочек и возмущенного движения акустических сред

$$\begin{aligned} (1 + \beta_k^2 \mu_k) \frac{\partial^2 U^{(k)}}{\partial \theta_k^2} + \frac{\partial W^{(k)}}{\partial \theta_k} - \beta_k^2 \mu_k \frac{\partial^3 W^{(k)}}{\partial \theta_k^3} - \frac{R_k^2}{c_{pk}^2} \frac{\partial^2 U^{(k)}}{\partial t^2} = 0 \\ \frac{\partial U^{(k)}}{\partial \theta_k} - \beta_k^2 \mu_k \frac{\partial^3 U^{(k)}}{\partial \theta_k^3} + W^{(k)} + \beta_k^2 \mu_k \frac{\partial^4 W^{(k)}}{\partial \theta_k^4} - R_k (1 + \nu_k) d_{31k} t_2^{(k)} + \\ + \frac{R_k}{c_{pk}^2} \frac{\partial^2 W^{(k)}}{\partial t^2} = \frac{S_{11k}^E (1 - \nu_k^2) R_k^2}{h_k} q^{(k)} \quad (k = 1, 2, \dots, N) \end{aligned} \quad (1)$$

$$\begin{aligned} \frac{\partial^2 \varphi^{(0)}}{\partial r_0^2} + \frac{1}{r_0} \frac{\partial \varphi^{(0)}}{\partial r_0} + \frac{1}{r_0^2} \frac{\partial^2 \varphi^{(0)}}{\partial \theta_0^2} = \frac{1}{c_0^2} \frac{\partial^2 \varphi^{(0)}}{\partial t^2} \\ \frac{\partial^2 \varphi^{(i)}}{\partial r_i^2} + \frac{1}{r_i} \frac{\partial \varphi^{(i)}}{\partial r_i} + \frac{1}{r_i^2} \frac{\partial^2 \varphi^{(i)}}{\partial \theta_i^2} = \frac{1}{c_i^2} \frac{\partial^2 \varphi^{(i)}}{\partial t^2} \\ \frac{\partial^2 \varphi^{(N+1)}}{\partial r_0^2} + \frac{1}{r_0} \frac{\partial \varphi^{(N+1)}}{\partial r_0} + \frac{1}{r_0^2} \frac{\partial^2 \varphi^{(N+1)}}{\partial \theta_0^2} = \frac{1}{c_{N+1}^2} \frac{\partial^2 \varphi^{(N+1)}}{\partial t^2} \end{aligned} \quad (2)$$

$$q^{(k)} = [-P^{(0)} + P^{(k)}]_{r=R_k} \quad (k = 1, 2, \dots, N) \quad (3)$$

$$P^{(0)} = -\rho_0 \frac{\partial[\varphi^{(0)} + \phi]}{\partial t}; \quad P^{(i)} = -\rho_i \frac{\partial \varphi^{(i)}}{\partial t} \quad i = 1, 2, \dots, N \quad (4)$$

Здесь $U^{(k)}, W^{(k)}$ – тангенциальная и нормальная составляющие вектора перемещений k -ой оболочки; $q^{(k)}$ – действующая на нее акустическая нагрузка; $E^{(k)}$ – напряженность электрического поля; β_k, μ_k, c_{pk} – постоянные, которые выражаются через параметры k -ой оболочки: модули упругости S_{11k}^E и ν_k , пьезомодуль d_{31} , плотность материала γ_k , а также ее толщину h_k и радиус R_k ; $\varphi^{(i)}$ – потенциал скоростей акустических сред, заполняющих безграничное внешнее пространство ($i=0$), внутренний объем i -ой ($i=1,2,\dots,N$) оболочки и цилиндрический объем, содержащийся внутри антенной решетки ($i=N+1$); $P^{(i)}$ – соответствующее акустическое давление; c_i, ρ_i – физические параметры (скорость звука и плотность) акустической среды; t – время.

Граничными для сформулированной задачи являются условия непроникания в местах контакта пьезопреобразователей и акустических сред, а также среды, заполняющей безграничное внешнее пространство, с акустическим экраном

$$\left. \frac{\partial [\varphi^{(0)} + \phi]}{\partial r_0} \right|_{r_0=R_0} = \left. \frac{\partial \varphi^{(N+1)}}{\partial r_0} \right|_{r_0=R_0}; \quad \rho_0 \left. \frac{\partial [\varphi^{(0)} + \phi]}{\partial t} \right|_{r_0=R_0} = \rho_{N+1} \left. \frac{\partial \varphi^{(N+1)}}{\partial t} \right|_{r_0=R_0} \quad (5)$$

Для установившихся во времени процессов необходимо выполнение условия Зоммерфельда для потенциала скоростей отраженных и излученных волн $\varphi^{(0)}$. Кроме того, учитывая, что в замкнутых объемах ($r_i < R_i$, $i=1,2,\dots,N+1$) нет источников, потенциалы скоростей $\varphi^{(i)}$, описывающие возникающие в них возмущения, должны быть ограничены.

Падающая плоская волна давления, распространяющаяся под углом α к оси $O_k X_k$ декартовых координат (рис.1), задается функцией ϕ , которая в переменных r_k , θ_k ($k=1,2,\dots,N$) и r_0 , θ_0 имеет вид

$$\phi(r_k, \theta_k, t) = Q e^{-i\omega t + i \frac{\omega}{c_0} [L \cos(\theta_{k0} - \alpha) + r_k \cos(\theta_k - \alpha)]} \quad (6)$$

$$\phi(r_0, \theta_0, t) = Q e^{-i\omega t + i \frac{\omega}{c_0} r_0 \cos(\theta_0 - \alpha)}$$

В приведенных выражениях Q – амплитуда действующей нагрузки, θ_{k0} – угловая координата O_k в центральной системе координат (r_0 , θ_0).

Решая задачу методом разделения пространственных переменных, получим для искомых величин их представление в рядах по собственным формам колебаний (ряды Фурье)

$$W^{(k)} = e^{-i\omega t} \sum_{n=-\infty}^{\infty} W_n^{(k)} e^{in\theta_k} \quad (7)$$

$$U^{(k)} = e^{-i\omega t} \sum_{n=-\infty}^{\infty} U_n^{(k)} e^{in\theta_k} \quad (k=1,2,\dots,N)$$

$$\varphi^{(0)} = e^{-i\omega t} \sum_{k=0}^N \sum_{n=-\infty}^{\infty} \varphi_{nk}^{(0)}(r_k) e^{in\theta_k} \quad (8)$$

$$\varphi^{(k)} = e^{-i\omega t} \sum_{n=-\infty}^{\infty} \varphi_n^{(k)}(r_k) e^{in\theta_k} \quad (9)$$

$$\varphi^{(N+1)} = e^{-i\omega t} \sum_{n=-\infty}^{\infty} \varphi_n^{(N+1)}(r_0) e^{in\theta_0} \quad (10)$$

Здесь компоненты потенциала скоростей $\varphi^{(0)}$ описывают возмущения во внешнем пространстве, обусловленные пьезокерамическими оболочками ($k=1,2,\dots,N$) и акустическим экраном ($k=0$).

Функции $\varphi_{nk}^{(0)}$, $\varphi_n^{(i)}$, $\varphi_n^{(N+1)}$ удовлетворяют уравнению Бесселя, что следует в результате подстановки выражений (8)–(10) в формулу (2). Тогда, с учетом условий излучения Зоммерфельда для возмущений в безграничном пространстве и их ограниченности в замкнутых объемах $r_i < R_i$ ($i=0,1,\dots,N$), общие решения волновых уравнений (2) имеют вид

$$\begin{aligned} \varphi^{(0)} &= e^{-i\omega t} \sum_{k=0}^N \sum_{n=-\infty}^{\infty} A_n^{(0)} H_n^{(1)} \left(\frac{\omega}{c_0} r_k \right) e^{in\theta_k} \\ \varphi^{(k)} &= e^{-i\omega t} \sum_{n=-\infty}^{\infty} B_n^{(k)} J_n \left(\frac{\omega}{c_k} r_k \right) e^{in\theta_k} \quad (k=1,2,\dots,N) \\ \varphi^{(N+1)} &= e^{-i\omega t} \sum_{n=-\infty}^{\infty} B_n^{(N+1)} J_n \left(\frac{\omega}{c_{N+1}} r_0 \right) e^{in\theta_0}, \end{aligned} \quad (11)$$

где $H_n^{(1)}$, J_n – функции n -х порядков Ханкеля первого рода и Бесселя, $A_n^{(0)}$, $B_n^{(k)}$, $B_n^{(N+1)}$ – постоянные интегрирования, которые находятся из граничных условий.

Используя теорему сложения для функции $H_n^{(1)}\left(\frac{\omega}{c_0}r_j\right)$, выполним переразложение потенциала скоростей $\phi^{(0)}$, представив его в переменных каждой из координатных систем r_k, θ_k ($k=0,1,\dots,N$):

$$\phi^{(0)}(r_k, \theta_k) = e^{-i\omega t} \sum_{n=-\infty}^{\infty} \left\{ A_n^{(k)} H_n^{(1)}\left(\frac{\omega}{c_0}r_k\right) + \sum_{\substack{j=0 \\ j \neq k}}^N \sum_{m=-\infty}^{\infty} A_m^{(j)} H_{m-n}^{(1)}\left(\frac{\omega}{c_0}L_{kj}\right) J_n\left(\frac{\omega}{c_0}r_k\right) e^{i(m-n)\theta_j} \right\} e^{in\theta_k} \quad (12)$$

Штрих над суммой означает, что слагаемое $j=k$ отсутствует.

В выражении (12) θ_{kj}, L_{kj} – угловая и радиальная координаты центра k -ой полярной системы O_k в переменных j -ой системы (r_j, θ_j) .

Разложение потенциала падающей волны ϕ (6) в ряд Фурье в принятых координатных системах имеет вид:

$$\begin{aligned} \phi(r_k, \theta_k, t) &= Q e^{-i\omega t + i\frac{\omega}{c_0}L \cos(\theta_{k0} - \alpha)} \sum_{n=-\infty}^{\infty} i^n J_n\left(\frac{\omega}{c_0}r_k\right) e^{-in\alpha} e^{in\theta_k} \quad (k=1,2,\dots,N); \\ \phi(r_0, \theta_0, t) &= Q e^{-i\omega t} \sum_{n=-\infty}^{\infty} i^n J_n\left(\frac{\omega}{c_0}r_0\right) e^{-in\alpha} e^{in\theta_0} \end{aligned} \quad (13)$$

Акустические давления на поверхностях контакта пьезокерамических оболочек с акустическими средами ($r_k=R_k, k=1,2,\dots,N$) и на границе соприкосновения внешней среды с акустическим экраном ($r_0=R_0$) согласно соотношениям (4), (11), (12), (13) также описываются рядами

$$\begin{aligned} P_6^{(0)} &= P^{(0)} \Big|_{r_i=R_i} = e^{-i\omega t} \sum_{n=-\infty}^{\infty} P_n^{(0)}(R_i) e^{in\theta_i} \quad (i = 0,1,\dots, N) \\ P_6^{(k)} &= P^{(k)} \Big|_{r_k=R_k} = e^{-i\omega t} \sum_{n=-\infty}^{\infty} P_n^{(k)}(R_k) e^{in\theta_k} \quad (k = 0,1,\dots, N) \\ P_6^{(N+1)} &= P^{(N+1)} \Big|_{r_0=R_0} = e^{-i\omega t} \sum_{n=-\infty}^{\infty} P_n^{(N+1)}(R_0) e^{in\theta_0} \end{aligned} \quad (14)$$

В случае пьезопреобразователей со сплошными токопроводящими покрытиями для рассмотренных вариантов их коммутации напряженность электрического поля $E_r^{(k)}$ пропорциональна нулевой компоненте прогиба $W_0^{(k)}$.

Далее, уравнения движения оболочек относительно n -ых гармоник перемещений $W_n^{(k)}, U_n^{(k)}$, выразим их через составляющие акустических нагрузок $q_n^{(k)}$.

Для определения постоянных интегрирования, входящих в выражение (11), соотношения (11), (12), (14) подставляются в граничные условия, в результате чего вычисление искомых величин $A_n^{(0)}, B_n^{(k)}, (k=1,2,\dots,N), B_n^{(N+1)}$, сводятся к решению следующей бесконечной системы линейных алгебраических уравнений

$$\begin{aligned} A_n^{(k)} + \sum_{\substack{j=0 \\ j \neq k}}^N \sum_{m=-\infty}^{\infty} F_{nm1}^{(kj)} A_m^{(j)} + G_{n1}^{(k)} B_n^{(k)} &= QU_{n1}^{(k)}; \\ G_{n2}^{(k)} A_n^{(k)} + \sum_{\substack{j=0 \\ j \neq k}}^N \sum_{m=-\infty}^{\infty} F_{nm2}^{(kj)} A_m^{(j)} + B_{n2}^{(k)} &= QU_{n1}^{(k)}, \quad (k=1,2,\dots,N) \\ A_n^{(0)} + \sum_{j=1}^N \sum_{m=-\infty}^{\infty} F_{nm1}^{(0j)} A_m^{(j)} + G_{n1}^{(0)} B_n^{(N+1)} &= QU_{n1}^{(0)}; \\ G_{n2}^{(0)} A_n^{(0)} + \sum_{j=1}^N \sum_{m=-\infty}^{\infty} F_{nm2}^{(0j)} A_m^{(j)} + B_{n2}^{(N+1)} &= QU_{n2}^{(0)}. \end{aligned} \quad (15)$$

Если пьезопреобразователи не содержат акустических сред во внутренних объемах, бесконечная система (15) упрощается, принимая вид:

$$A_n^{(k)} + \sum_{\substack{j=0 \\ j \neq k}}^N \sum_{m=-\infty}^{\infty} F_{nm1}^{(kj)} A_m^{(j)} = QU_{n1}^{(k)} \quad (k=1,2,\dots,N);$$

$$A_n^{(0)} + \sum_{j=1}^N \sum_{m=-\infty}^{\infty} F_{nm}^{(0j)} A_m^{(j)} + G_{n1}^{(0)} B_n^{(N+1)} = QU_{n1}^{(0)}; \quad (16)$$

$$G_{n2}^{(0)} A_n^{(0)} + \sum_{j=1}^N \sum_{m=-\infty}^{\infty} F_{nm}^{(0j)} A_m^{(j)} + B_n^{(N+1)} = QU_{n2}^{(0)}.$$

Можно показать, что системы (15) (16) являются квазирегулярными и имеют единственное решение, которое может быть получено методом редукции.

Располагая значениями постоянных $A_n^{(k)}, B_n$ не трудно рассчитать физические характеристики изучаемого динамического процесса. Так, согласно выражению (14) определяются давления в акустических средах на поверхностях их контакта с оболочками, по формулам (3) – действующие на них акустические нагрузки

Асимптотические формулы для расчёта дальнего поля давлений включают составляющую, описывающую возмущение, обусловленную акустическим экраном, расположенным внутри антенной решетки:

$$P_D^{(0)} = e^{-i\omega t} i \rho_0 \omega \sum_{j=0}^N \sum_{m=-\infty}^{\infty} A_m^{(j)} \frac{2}{\sqrt{\pi \frac{\omega}{c_0} r_j}} e^{i\left(\frac{\omega}{c_0} r_j - \frac{n\pi}{2} - \frac{\pi}{4}\right) + im\theta_j}, \quad (17)$$

где $r_k = \sqrt{L^2 + r_0^2 - 2 L r_0 \cos(\theta_0 - \theta_{k0})}$;

$$\theta_k = \pi - \theta_{k0} - \arctg \frac{r_0 \sin(\theta_0 - \theta_{k0})}{L - r_0 \cos(\theta_0 - \theta_{k0})}.$$

В качестве иллюстрации, применим полученные аналитические выражения для численной оценки акустических полей, создаваемых круговыми гидроэлектродупругими системами. Система располагается в воде с параметрами $\rho_0=1000 \text{ кг/м}^3$ и $c=1500 \text{ м/с}$.

Результаты численной оценки представлены на рис.2. Расчеты проводились для следующих значений: $N=4$; $L=5R$; $R=0,0675 \text{ м}$; $h=0,006 \text{ м}$; $R_Э=0,24 \text{ м}$; расстояние в дуге между поверхностями соседних элементов $l=0,09R$; $f=4 \text{ кГц}$, 10 кГц ; $z_H=R=1000 \text{ м}$. Резонансная частота пульсирующих колебаний преобразователей в воде составляла 10 кГц . Количество членов, учитываемых в разложениях полей, выбиралась так, чтобы вклад последнего учитываемого члена не превышал $3\div 4 \%$ от суммарного получаемого результата.

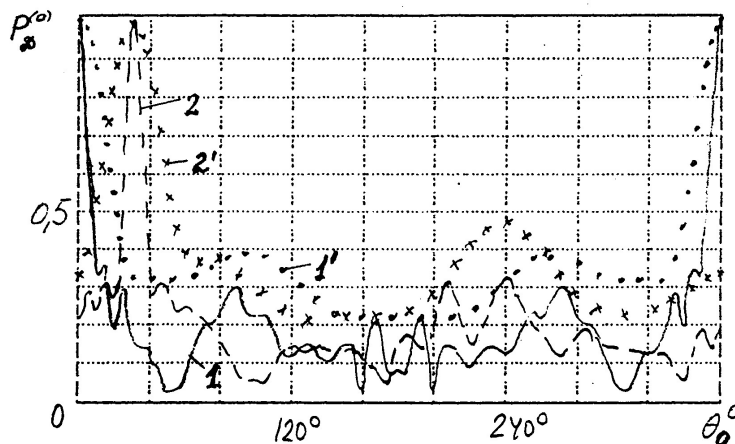


Рис.2. Угловые зависимости нормализованных акустических давлений рассеянного поля решеток преобразователей с идеально податливым акустическим экраном.

1 – $\alpha = 0^0$, $f = 10 \text{ кГц}$; 1' – $\alpha = 0^0$, $f = 4 \text{ кГц}$; 2 – $\alpha = 30^0$, $f = 10 \text{ кГц}$; 2' – $\alpha = 30^0$, $f = 4 \text{ кГц}$.